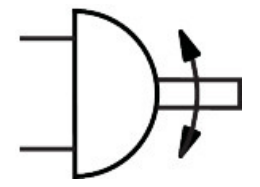
Número de artículo: 8163607





## Hoja de datos

Ángulo de amortiguación       2         Margen de ajuste del ángulo de giro por posición final       +         Excentricidad axial de la placa       0         Ángulo de giro       1         Ángulo de giro mín.       4         Ángulo de giro máx.       2         Amortiguación       A         Posición de montaje       C         Forma constructiva       C         Detección de posición       P         Presión de funcionamiento       0         Modo de funcionamiento       D         Medio de funcionamiento       A         Nota sobre el medio de trabajo/mando       A         Clase de resistencia a la corrosión CRC       1         Conformidad PWIS       V         Idoneidad para la producción de baterías de iones de litio       E	23.5 grado 10 /-100 grados 0.05 mm 80 grado 15 grado 10 grado 11 grado 12 grado 13 grado 14 grado 15 grado 16 grado 17 grado 18 grado 18 grado 19 grado 19 grado 10 grado 10 grado 10 grado 11 grado 12 grado 13 grado 14 grado 15 grado 16 grado 17 grado 18 grado 18 grado 19 grado 19 grado
Margen de ajuste del ángulo de giro por posición final + Excentricidad axial de la placa	10 /-100 grados  0.05 mm  80 grado  15 grado  10 grado  10 grado  10 grado  10 grado  11 grado  12 grado  13 grado  14 grado  15 grado  16 grado  17 grado  18 grado  19 grado  19 grado  10 grado  10 grado  10 grado  11 grado  12 grado  13 grado  14 grado  15 grado  16 grado  17 grado  18 grado  18 grado  19 grado  10 grado
Excentricidad axial de la placa  Ángulo de giro  1 Ángulo de giro mín.  4 Ángulo de giro máx.  2 Amortiguación  Posición de montaje  Forma constructiva  Detección de posición  Presión de funcionamiento  0 Modo de funcionamiento  Medio de funcionamiento  Medio de funcionamiento  Clase de resistencia a la corrosión CRC  Conformidad PWIS  Idoneidad para la producción de baterías de iones de litio  E  1 Angulo de giro  A Precisión de mónta.  4 Angulo de giro mín.  4 Angulo de giro máx.  2 Amortiguación  A Precisión de repetición  O Modo de funcionamiento  A Nota sobre el medio de trabajo/mando  Clase de resistencia a la corrosión CRC  1 Conformidad PWIS	2.05 mm 2.80 grado 2.50 grado 2.00 grado 2.00 grado 2.00 mortiguación por topes elásticos/placas en ambos lados 2.01 alquiera 2.02 cremallera/piñón 2.03 MPa0.8 MPa 2.04 bar8 bar
Ángulo de giro       1         Ángulo de giro mín.       4         Ángulo de giro máx.       2         Amortiguación       A         Posición de montaje       C         Forma constructiva       C         Detección de posición       P         Presión de funcionamiento       0         Modo de funcionamiento       0         Medio de funcionamiento       A         Nota sobre el medio de trabajo/mando       A         Clase de resistencia a la corrosión CRC       1         Conformidad PWIS       V         Idoneidad para la producción de baterías de iones de litio       E	80 grado 15 grado 200 grado 200 grado 201 grado 202 grado 203 grado 204 grado 205 grado 206 grado 207 grado 208 grad
Ángulo de giro mín.       4         Ángulo de giro máx.       2         Amortiguación       A         Posición de montaje       C         Forma constructiva       C         Detección de posición       P         Presión de funcionamiento       0         Modo de funcionamiento       D         Medio de funcionamiento       A         Nota sobre el medio de trabajo/mando       A         Clase de resistencia a la corrosión CRC       1         Conformidad PWIS       V         Idoneidad para la producción de baterías de iones de litio       E	po grado con gra
Ángulo de giro máx.       2         Amortiguación       A         Posición de montaje       C         Forma constructiva       C         Detección de posición       P         Presión de funcionamiento       0         Modo de funcionamiento       D         Medio de funcionamiento       A         Nota sobre el medio de trabajo/mando       A         Clase de resistencia a la corrosión CRC       1         Conformidad PWIS       V         Idoneidad para la producción de baterías de iones de litio       E	coo grado comortiguación por topes elásticos/placas en ambos lados cualquiera cremallera/piñón cara sensor de proximidad co. 3 MPa0.8 MPa de bar8 bar
Amortiguación  Posición de montaje  Forma constructiva  Detección de posición  Presión de funcionamiento  Omega de funcionamiento  Modo de funcionamiento  Medio de funcionamiento  Modo de funcionamiento  Modo de funcionamiento  Anota sobre el medio de trabajo/mando  Clase de resistencia a la corrosión CRC  Conformidad PWIS  Idoneidad para la producción de baterías de iones de litio  E	cualquiera Cremallera/piñón Para sensor de proximidad 0.3 MPa0.8 MPa 8 bar8 bar
Posición de montaje  Forma constructiva  Detección de posición  Presión de funcionamiento  O  Modo de repetición  Medio de funcionamiento  Medio de funcionamiento  A  Nota sobre el medio de trabajo/mando  Clase de resistencia a la corrosión CRC  Conformidad PWIS  Idoneidad para la producción de baterías de iones de litio  E	Cualquiera  Gremallera/piñón  Para sensor de proximidad  D.3 MPa0.8 MPa B bar8 bar
Forma constructiva  Detección de posición  Presión de funcionamiento  O  Precisión de repetición  Modo de funcionamiento  Medio de funcionamiento  Nota sobre el medio de trabajo/mando  Clase de resistencia a la corrosión CRC  Conformidad PWIS  Idoneidad para la producción de baterías de iones de litio  E	cremallera/piñón Para sensor de proximidad D.3 MPa0.8 MPa B bar8 bar
Detección de posición Presión de funcionamiento 0 3 Precisión de repetición 0 Modo de funcionamiento Detección de repetición Modo de funcionamiento Anota sobre el medio de trabajo/mando Clase de resistencia a la corrosión CRC 1 Conformidad PWIS V Idoneidad para la producción de baterías de iones de litio E	Para sensor de proximidad 0.3 MPa0.8 MPa 8 bar8 bar
Presión de funcionamiento  O  Recisión de repetición  Modo de funcionamiento  Medio de funcionamiento  A  Nota sobre el medio de trabajo/mando  Clase de resistencia a la corrosión CRC  Conformidad PWIS  V  Idoneidad para la producción de baterías de iones de litio  E	0.3 MPa0.8 MPa 8 bar8 bar
Precisión de repetición  Modo de funcionamiento  Medio de funcionamiento  A  Nota sobre el medio de trabajo/mando  Clase de resistencia a la corrosión CRC  Conformidad PWIS  Idoneidad para la producción de baterías de iones de litio	bar8 bar
Modo de funcionamiento  Medio de funcionamiento  A  Nota sobre el medio de trabajo/mando  Clase de resistencia a la corrosión CRC  Conformidad PWIS  Idoneidad para la producción de baterías de iones de litio  E	0.05 grado
Medio de funcionamiento  A Nota sobre el medio de trabajo/mando  Clase de resistencia a la corrosión CRC  Conformidad PWIS  V  Idoneidad para la producción de baterías de iones de litio  E	
Nota sobre el medio de trabajo/mando  Clase de resistencia a la corrosión CRC  1 Conformidad PWIS  V Idoneidad para la producción de baterías de iones de litio  E	Ooble efecto
u Clase de resistencia a la corrosión CRC 1 Conformidad PWIS V Idoneidad para la producción de baterías de iones de litio E	ire comprimido según ISO 8573-1:2010 [7:4:4]
Conformidad PWIS  Idoneidad para la producción de baterías de iones de litio  E p	dmite funcionamiento con lubricación (lo cual requiere seguir Itilizándolo)
Idoneidad para la producción de baterías de iones de litio E	- riesgo de corrosión bajo
p	/DMA24364-C1-L
e	il producto corresponde a la definición interna de producto de Festo para inserto en la producción de baterías:No pueden utilizarse metales on un contenido de cobre, zinc o níquel superior al 1 %.Excepción: el níquel en aceros, superficies niqueladas químicamente, placas de ircuito impreso, cables, conectores eléctricos y bobinas
Clase de sala limpia	Clase 9 según ISO 14644-1
Temperatura de almacenamiento -2	20 °C60 °C
Temperatura ambiente 0	°C60 °C
Momento de giro teórico con 6 bar 0	0.9 Nm
Momento de inercia admisible de la masa 0	0.005 kgm²
Momento de flexión máx. 2	Nm
Carga axial estática máx.	80 N
Peso del producto 3	110 g

Característica	Valor
Tipo de fijación	Con kit de fijación Con taladro pasante Con rosca interior A elegir:
Conexión neumática	M3
Nota sobre el material	Conformidad con la Directiva RoHS
Material de las juntas	NBR TPE-U (PU)
Material del cuerpo	Aluminio, anodizado
Material del eje con brida	Aleación forjada de aluminio
Material del piñón	Acero templado